



طراحی و پیاده‌سازی کنترلر زاویه‌ای PID با بهره‌گیری از سیستم فازی برای تنظیم بهره‌های کنترلر کوادراتور

وحید تیکانی^۱، حامد شهبازی^{۲*}

۱- کارشناسی ارشد، گروه مهندسی مکانیک، دانشکده فنی مهندسی، دانشگاه اصفهان، اصفهان

۲- استادیار، گروه مهندسی مکانیک، دانشکده فنی مهندسی، دانشگاه اصفهان، اصفهان

* اصفهان، صندوق پستی ۸۱۶۴۸۳۳۶۶۴

چکیده

در دهه‌های اخیر مطالعات به منظور مدل‌سازی و کنترل ریاضیاتی برای کوادراتورهای رونده روند رو به رشدی را به خود گرفته است. این مقاله یک مدل کنترلر برای ریاضیاتی برای کوادراتورهای رونده می‌کند. مدل‌سازی کوادراتورهای رونده با استفاده از روابط اویلر- نیوتون بیان شده است. برای پایدارسازی و کنترل زاویه‌ای کوادراتورهای رونده یک کنترلر کلاسیک PID طراحی و پیاده‌سازی شده و از یک کنترلر فازی برای تنظیم ضرایب کنترلر استفاده شده است. از اینجا که کوادراتورهای رونده یک سیستم غیرخطی است، استفاده از کنترلرهای کلاسیک برای پایدارسازی آن به اندازه کافی گردیده است. از اینجا که کوادراتورهای رونده یک سیستم غیرخطی است، استفاده از کنترلرهای کلاسیک برای پایدارسازی آن به اندازه کافی موثر نخواهد بود و بهره‌گیری از سیستم فازی برای تنظیم بهره‌های کنترلر منجر به بهبود پاسخ کنترلر می‌شود. سیستم فازی با توجه به مقدار مطلوب مخاطر شده برای کوادراتورهای رونده یک کنترلر را به ظرفی بیشتر عاملکرد کوادراتورهای رونده نسبت به کنترلر کلاسیک PID ارائه می‌دهد. یک مجموعه از آمایشگاهی شامل کوادراتورهای رونده و حسگرهای شتاب‌سنج، ژیروسکوپ و قطب‌نما به همراه میکروکنترلرهای رونده از سیستم فازی PID طراحی و ساخته شده است. با توجه به این که داده‌های آمایشگاهی دارای نویز هستند از فیلتر کالمن برای کاهش نویز حسگرهای رونده استفاده شده است. در نهایت استفاده از فیلتر کالمن برای فیلتر داده‌های آمایشگاهی منجر به کنترلر زاویه‌ای مناسب مجموعه شده است.

اطلاعات مقاله

مقاله پژوهشی کامل

دریافت: ۲۰ اردیبهشت ۱۳۹۵

پذیرش: ۲۰ مرداد ۱۳۹۵

ارائه در سایت: ۲۱ شهریور ۱۳۹۵

کلید واژگان:

کنترلر فازی PID

کوادراتور

فیلتر کالمن

سیستم فازی

کنترلر زاویه‌ای

Design and implementation of attitude PID controller with fuzzy system to adjust the controller gain values for quadrotor

Vahid Tikani, Hamed Shahbazi*

Department of Mechanical Engineering, University of Isfahan, Isfahan, Iran
* P.O.B. 8164833664, Isfahan, Iran, shahbazi@eng.ui.ac.ir

ARTICLE INFORMATION

Original Research Paper

Received 09 May 2016

Accepted 10 August 2016

Available Online 11 September 2016

Keywords:

Fuzzy PID controller

Quadrotor

Kalman filter

Fuzzy system

Attitude controller

ABSTRACT

This paper presents a completely practical control approach for quadrotor drone. Quadrotor is modeled using Euler-Newton equations. For stabilization and control of quadrotor a classic PID controller has been designed and implemented on the plant and a fuzzy controller is used to adjust the controller parameters. Considering that quadrotor is nonlinear system, using classic controllers for the plant is not effective enough. Therefore, using fuzzy system which is a nonlinear controller is effective for the nonlinear plant. According to the desired set point, fuzzy system adjusts the controller gain values to improve the performance of quadrotor which leads to better results than classical PID controller. To study the performance of fuzzy PID controller on attitude control of the system, a quadrotor is installed onto the designed stand. The system consists of accelerometer and gyroscope sensors and a microcontroller which is used to design fuzzy PID attitude controller for the quadrotor. Regarding to the considerable noises of the experimental data, Kalman filter is used to reduce them. Finally, using the Kalman filter leads to better estimation of the quadrotor angle position and the fuzzy PID controller performs the desired motions successfully.

ساخته شد [۱]. از آن پس پرندۀ‌های چهارمحلخه متعددی ساخته شد از جمله

۱- مقدمه

هليکوپتر اونمیچن [۲]. با توجه به اين که در آن دوره ساخت و توسيعه حسگرهای و طراحی سیستم کنترلی چندان امکان پذیر نبود، طراحی پرندۀ‌ها خود کار عملاً غیرممکن بود. پیشرفت‌های اخیر در حوزه کنترل و الکترونیک که منجر به ساخت حسگرهای با دقت بالا شده است، این امکان را برای طراحان به وجود آورده است که به طراحی پهابدهای کنترل پذیر روی آورند. از اين‌رو پهابدها در اندازه‌های مختلف و با امکانات گستره ساخت و توسيعه مورد توجه قرار گرفتند. اولين پرندۀ چهارمحلخه در سال ۱۹۲۱ توسط ديوتزات

یافته‌اند.

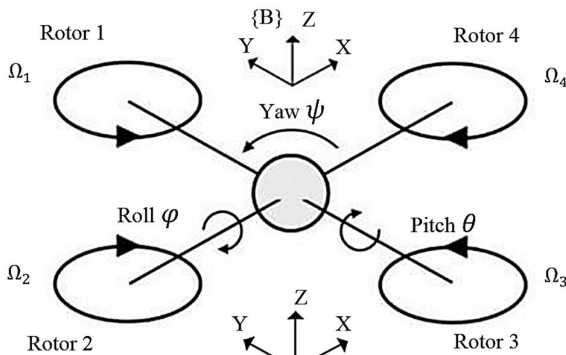


Fig. 1 Quadrotor configuration

شکل ۱ ساختار کوادراتور

می‌شود که مشکل از دو بال بوده و هر کدام دارای موتورهایی در انتهای خود هستند. موتورهای شماره‌ی ۱ و ۳ در راستای ساعت‌گرد می‌چرخد و موتورهای شماره‌ی ۲ و ۴ در راستای پادساعت‌گرد می‌چرخد.

به منظور به دست آوردن مدل دینامیکی سیستم به صورت مدل فضایی حالت متغیرهای حالت به صورت $f(X, U) = f(X, U)$ معرفی شود که در آن U بردار ورودی و X بردار متغیرهای حالت است و به صورت زیر تعریف می‌شوند:

$$X = [\phi \ \dot{\phi} \ \theta \ \dot{\theta} \ \psi \ \dot{\psi} \ z \ \dot{z} \ x \ \dot{x} \ y \ \dot{y}] \quad (1)$$

$$U = [U_1 \ U_2 \ U_3 \ U_4] \quad (2)$$

برای مدل سازی کوادراتور دو دستگاه مختصات تعريف می‌شود، دستگاه مختصات روی بدنه و دستگاه مختصات روی زمین. همان‌گونه که در "شکل ۱" نشان داده شده، موقعیت زاویه‌ای کوادراتور با سه زاویه‌ای اویلری، ϕ ، θ و ψ مشخص شده‌اند که زاویه‌ی حرکت در راستاهای رول^۱، پیچ^۲ و یا^۳ هستند و در مجموع ماتریس (ϕ, θ, ψ) را تشکیل می‌دهند. موقعیت کوادراتور از دستگاه روی زمین با (x, y, z) صورت می‌شود. ماتریس انتقال از دستگاه روی بدنه به دستگاه روی زمین با ماتریس R صورت می‌گیرد و به صورت زیر تعریف می‌شود:

$$R = \begin{pmatrix} c\psi \cdot c\theta & c\psi \cdot s\theta - s\psi \cdot c\phi & c\psi \cdot s\theta + s\psi \cdot c\phi \\ s\psi \cdot c\theta & s\psi \cdot s\theta - c\psi \cdot c\phi & s\psi \cdot s\theta + c\psi \cdot c\phi \\ -s\theta & c\theta \cdot s\phi & c\theta \cdot c\phi \end{pmatrix} \quad (3)$$

نمایش $c\theta = \cos \theta$ و $s\theta = \sin \theta$ است. نیروی تولیدی توسط روتور i به صورت $F_i = b \cdot \omega_i^2$ است که b نمایش ضربی بالابرند و ω_i (rad/s) نمایش سرعت زاویه‌ای روتور است. بنابراین، نیروی عمودی وارد بر سیستم به صورت زیر خواهد بود.

$$T = \sum_{i=1}^4 |F_i| = b \cdot \sum_{i=1}^4 \omega_i^2 \quad (4)$$

با توجه به این نیرو معادله دیفرانسیل برای حرکت خطی کوادراتور به صورت زیر است:

$$\begin{pmatrix} \ddot{x} \\ \ddot{y} \\ \ddot{z} \end{pmatrix} = g \times \begin{pmatrix} 0 \\ 0 \\ 1 \end{pmatrix} - R \frac{T}{m} \cdot \begin{pmatrix} 0 \\ 0 \\ 1 \end{pmatrix} \quad (5)$$

بنابراین معادله دیفرانسیل برای حرکت دورانی سیستم به صورت زیر خواهد بود [20]:

تحقیق و توسعه در مدل سازی و طراحی کنترلر برای پهپاد کوادراتور در سال‌های اخیر بسیار مورد توجه قرار گرفته است. تعدادی از این پژوهش‌ها به صورت خلاصه در ادامه آمده است. التوگ و همکارانش اقدام به مدل سازی کوادراتور براساس روش اویلر-تیوبتون نمودند و با تمرکز بر پایدارسازی و بازخورد با استفاده از تصاویر به طراحی و توسعه کنترلر برای کوادراتور پرداختند [۳]. سوتر و همکارانش نیز به بررسی طراحی کنترلر با استفاده از سرو کنترلرهای مبتنی بر تصویر پرداخت [۴]. همچنین دافید و همکارانش یک کنترل مبنی بر شبکه عصبی برای کوادراتور طراحی نمودند [۵]. برای تخمین موقعیت کوادراتور اول و همکارانش از یک فیلتر کالمون استفاده نمودند [۶]. لی و همکارانش به طراحی کنترلر مود لغزشی برای کوادراتور پرداختند [۷]. بورا و همکارانش نیز یک کنترلر فازی هیبریدی برای کنترل کوادراتور طراحی نمود [۸]. طراحی کنترلر فازی برای سیستم‌های دینامیکی بسیار مورد استفاده قرار گرفته است، که از جمله آن می‌توان به طراحی کنترلر فازی منطقی برای کوادراتور اشاره داشت [۱۰, ۹]. روش کمترین مربعات به سبب مزیت در ارائه سیگنال ورودی بهینه از فیدبک متغیرها، موضوع برخی از پژوهش‌ها قرار گرفته است. مزیت این روش این است که می‌تواند سیستم را در محدوده مجاز طراحی قرار دهد و چون مربوط به نظریه خطی است به راحتی می‌توان کنترل بهینه‌ی حلقه بسته را تشکیل داد [۱۳]. روش مود لغزشی برای عدم قطعیت‌های غیرخطی پاسخ مناسبی دارد، از جمله مزیت‌های این روش پاسخ سریع، مقاوم در برابر عدم قطعیت‌ها و اختشاشات خارجی، سازگاری با سیستم غیرخطی و سادگی در پیاده‌سازی است. این روش نیز مانند روش‌های دیگر نقاطه اضفی دارد که از آن جمله پدیده‌ی نوسان در اطراف صفحه لغزش است [۱۴-۱۶]. به دلیل ارتعاشات بالای کوادراتور در طول پرواز حسگرهای شتاب‌سنج و ژیروسکوپ با نویز پسیار زیادی همراه هستند، به منظور حذف نویز حسگرهای و مدل سازی با استفاده از داده‌های آزمایشگاهی از فیلتر کالمون استفاده می‌شود [۱۷]. مولتی‌روتورهای با بیش از چهار روتور نیز مورد توجه پژوهشگران بوده است. توفیق و همکاران با هدف ریدایی مسیر برای یک عمودپرواز شش ملحه، دو کنترل کننده به روش فیدبک خطی ساز طراحی کرده است [۱۸]. و در پژوهشی دیگر به روش خطی سازی پسخواراند و گام به عقب اقدام به طراحی کنترلر برای یک عمودپرواز پنج ملحه نمود [۱۹].

در این مقاله ابتدا مدل سازی کوادراتور صورت پذیرفته و سپس دو کنترلر کلاسیک PID و کنترلر فازی PID که در آن بهره‌های کنترلی با استفاده از سیستم فازی تنظیم می‌شوند، طراحی شده است. در ادامه به مقایسه عملکرد این دو کنترلر پرداخته شده است. به منظور بررسی تجربی، یک مدل آزمایشگاهی برای پیاده‌سازی کنترلر زاویه‌ای طراحی و توسعه داده شده است و با پیاده‌سازی کنترلر ارائه شده در مدل آزمایشگاهی به بررسی عملکرد این نوع از کنترلر در پاسخ به ورودی پله و مقاومت در برابر اختشاشات خارجی پرداخته شده است.

۲-مدل سازی کوادراتور

مطالعه‌ی دینامیک سازه کوادراتور به شناخت هرچه بیشتر فیزیک این سازه و رفتار آن کمک می‌کند. این نوع از پهپادها دارای شکلی صلبی هستند که چهار روتور در گوشه‌های آن به عنوان پیشرانه‌ای، نیروی موردنیاز برای پرواز این سازه را فراهم می‌کنند. حرکت کوادراتور با استفاده از تغییر سرعت چرخش روتورها انجام می‌گیرد. پیکربندی کوادراتور در "شکل ۱" ملاحظه

¹ Roll

² Pitch

³ Yaw

کنترلر تنسی - انتگرال گیر - مشتق گیر از دسته کنترلرهای مبتنی بر بازخورد است که به صورت عمده‌ای در سیستم‌های کنترلی مورد استفاده قرار می‌گیرد. با توجه به ساختار ساده و عملکرد مقاوم این نوع از کنترلر، طراحی و پیاده‌سازی آن در صنایع بسیار رواج دارد. رابطه‌ی کلی کنترلر تنسی - انتگرال گیر - مشتق گیر به صورت زیر است:

$$u(t) = K_p e(t) + K_i \int_0^t e(t) dt + K_d \frac{d}{dt} e(t) \quad (11)$$

بهره‌ی کنترلی K_p ، بازخورد کنترلی نسبت به خطای بین مقدار مطلوب و مقدار واقعی است. بهره‌ی کنترلر مشتق گیر K_d بازخورد کنترلی به نرخ تغییر خطای و بهره‌ی کنترلر انتگرال گیر K_i . بازخورد کنترلر به مجموع مقادیر خطاست که در ورودی کنترلر لحاظ شده‌اند. برای کنترل زاویه‌ای کوادراتور سه ورودی کنترلر U_2 و U_3 و U_4 را برای کنترل جهت‌های رول، پیچ و یا توپلید می‌شوند.

3-2-کنترلر PID با بهره‌گیری از سیستم فازی برای تنظیم بهره‌های کنترلی

طراحی یک کنترلر PID با عملکرد مطلوب و استناد به انتخاب بهره‌های کنترلی است. در ادامه اقدام به طراحی یک سیستم فازی برای تعیین بهره‌های کنترلی به صورت لحظه‌ای شده است. یک کنترلر فازی براساس یک منطق فازی به کنترلر PID عمل می‌کند و بهره‌های کنترلر را براساس یک منطق فازی به صورت لحظه‌ای تغییر می‌دهد تا سیستم پاسخ مطلوبی داشته باشد. همان‌گونه که در "شکل 2" مشخص است، سیستم فازی PID با گرفتن پارامترهای خط و مشتق خطای در هر لحظه به عنوان ورودی با استفاده از قوانین فازی از پیش تعیین شده، اقدام به تغییر مقادیر بهره‌های کنترلی می‌کند. قوانین کنترلر فازی تعریف رابطه بین خط و مشتق خطای پارامترهای کنترلی است. همان‌گونه که در "شکل 3" نشان داده شده است، برای تعریف توابع خصوصیت خط و مشتق خطای در سیستم فازی هفت پارامتر اختصاص داده شده و به کمک آن مقادیر عددی به تعاریف فاری تبدیل می‌شود.

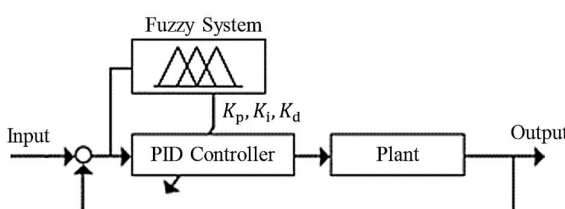
برای برآورده بجهه‌های کنترلی سه مقادیر K'_p و K'_d و K'_i به عنوان خروجی سیستم فازی در محدوده‌ی [1-1] مانظر می‌شوند. سپس با استفاده از روابط (12) بهره‌های کنترلی بین حد بالا و پایین مانظر شده، به دست می‌آیند.

$$K_p = (K_{p,\max} - K_{p,\min})K'_p + K_{p,\min} \quad (12\text{-الف})$$

$$K_d = (K_{d,\max} - K_{d,\min})K'_d + K_{d,\min} \quad (12\text{-ب})$$

$$K_i = (K_{i,\max} - K_{i,\min})K'_i + K_{i,\min} \quad (12\text{-ج})$$

همان‌گونه که در "شکل 4" نشان داده شده است، برای تعریف توابع خصوصیت خروجی سیستم فازی از پارامترهای S و B استفاده می‌شود.



شکل 2 کنترلر PID با استفاده از سیستم فازی برای تنظیم بهره‌ها

$$\mathbf{I} \cdot \dot{\boldsymbol{\Omega}} = -(\dot{\boldsymbol{\Omega}} \times \mathbf{I} \cdot \dot{\boldsymbol{\Omega}}) - M_G + \mathbf{M} \quad (6)$$

I ماتریس اینرسی سیستم و M_G گشتاور ژیروسکوپی را نشان می‌دهد. M نیز گشتاور وارد بر بدنه است و به صورت رابطه (7) به دست می‌آید:

$$\mathbf{M} = \begin{pmatrix} Lb(\omega_3^2 - \omega_4^2) \\ Lb(\omega_1^2 - \omega_2^2) \\ d(\omega_1^2 + \omega_2^2 - \omega_3^2 - \omega_4^2) \end{pmatrix} \quad (7)$$

d ضریب بازدارندگی و L فاصله‌ی بین روتورها و مرکز جرم است. معادلات دینامیکی سیستم با استفاده از معادلات (5) و (6) به صورت بدست می‌آیند:

$$\ddot{x} = (\cos \phi \sin \theta \cos \psi + \sin \phi \sin \psi) \frac{U_1}{m} \quad (8\text{-الف})$$

$$\ddot{y} = (\cos \phi \sin \theta \sin \psi - \sin \phi \cos \psi) \frac{U_1}{m} \quad (8\text{-ب})$$

$$\ddot{z} = -g + (\cos(\phi)\cos(\theta)) \frac{U_1}{m} \quad (8\text{-ج})$$

$$\ddot{\phi} = \dot{\theta}\dot{\psi} \left[\frac{I_{yy} - I_{zz}}{I_{xx}} \right] + \frac{J_r}{I_{xx}} \dot{\theta}\Omega_d + \frac{1}{I_{xx}} U_2 \quad (5\text{-8})$$

$$\ddot{\theta} = \dot{\phi}\dot{\psi} \left[\frac{I_{zz} - I_{xx}}{I_{yy}} \right] - \frac{J_r}{I_{yy}} \dot{\phi}\Omega_d + \frac{1}{I_{yy}} U_3 \quad (5\text{-8})$$

$$\ddot{\psi} = \dot{\theta}\dot{\phi} \left[\frac{I_{xx} - I_{yy}}{I_{zz}} \right] + \frac{1}{I_{zz}} U_4 \quad (5\text{-8})$$

x و y و z موقعیت مرکز جرم کوادراتور را نشان می‌دهند. سه زاویه‌ی ϕ و θ و ψ زاویای اوبلر هستند و موقعیت زاویه‌ای کوادراتور را بیان می‌کنند. همچنین m و I_{xx} و I_{yy} و I_{zz} و J_r ممان اینرسی روتورها است و Ω_d مجموع سرعت‌های زاویه‌ای تیغه‌های پرواز می‌باشد که به صورت رابطه (9) تعریف می‌شود:

$$\Omega_d = \omega_1 + \omega_2 - \omega_3 - \omega_4 \quad (9)$$

U_1 و U_2 و U_3 و U_4 ورودی‌های سیستم و به ترتیب نیروی مجموع بالابرند و مومنت‌های رول و پیچ و یا توپلید توسط تیغه‌های پروازی می‌باشند. که به صورت زیر تعریف می‌شوند:

$$U_1 = b(\omega_1^2 + \omega_2^2 + \omega_3^2 + \omega_4^2) \quad (10\text{-الف})$$

$$U_2 = b(\omega_3^2 - \omega_4^2) \quad (10\text{-ب})$$

$$U_3 = b(\omega_1^2 - \omega_2^2) \quad (10\text{-ج})$$

$$U_4 = d(\omega_1^2 + \omega_2^2 - \omega_3^2 - \omega_4^2) \quad (10\text{-د})$$

3-کنترلر زاویه‌ای کوادراتور

در ادامه، دو کنترلر برای پایدارسازی کوادراتور طراحی می‌شود، کنترلر کلاسیک تنسی - انتگرال گیر - مشتق گیر و کنترلر PID با استفاده از سیستم فازی برای تنظیم بهره‌های کنترلی. همان‌گونه که اشاره شد ورودی‌های کنترلر توسعه معادلات (10) مشخص می‌شوند سه ورودی کنترلر U_2 و U_3 و U_4 برای کنترل زوایا توپلید می‌شود که حرکت‌های رول، پیچ و یا توپلید می‌کند.

3-1-کنترلر کلاسیک تنسی-انتگرال گیر-مشتق گیر

"شکل 5" که مقادیر خروجی سیستم فازی محسوب می‌شوند، در "شکل 5" به صورت نمایش سطحی براساس مقادیر ورودی e و \dot{e} رسم شده است. نمایش سطحی خروجی K'_d بر حسب ورودی‌ها در سیستم فازی نیز در "شکل 6" رسم شده است.

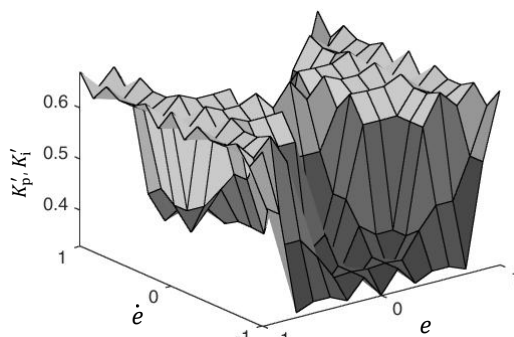
4-نتایج شبیه‌سازی

کنترلر کلاسیک تنااسبی- انتگرال گیر- مشتق گیر با بهره‌گیری از سیستم فازی برای تنظیم بهره‌های کنترلر در نرم‌افزار متلب شبیه‌سازی و پیاده‌سازی شد تا عملکرد کنترلر با کنترلر کلاسیک PID مقایسه و ارزیابی شود. "شکل 7" نتیجه شبیه‌سازی برای کنترل زاویه‌ی رول را نشان می‌دهد، پاسخ کنترلر فازی-PID و PID به ورودی پله و تغییرات بهره‌های کنترلر در طول زمان در این شکل رسم شده‌اند. همان‌گونه که مشخص است پاسخ سیستم با روش کنترلر تنااسبی- PID نسبت به PID پاسخ مطلوب‌تری دارد.

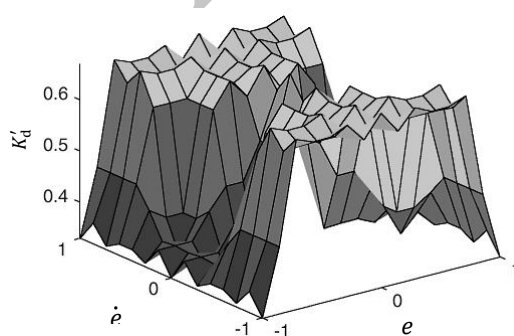
جدول 3 مقایسه‌ی کنترل رول برای روش‌های ارائه شده در پاسخ به ورودی پله است. مشخصات پاسخ به ورودی پله شامل زمان نشست (t_s)، میزان فراجهش (M_p)، پاسخ ماندگار (e_{ss}) و زمان رسیدن به پاسخ مطلوب (t_r) در این جدول ارائه شده است.

"شکل 8" نتیجه شبیه‌سازی برای کنترل زاویه‌ی پیچ و تغییرات بهره‌های کنترلی توسط کنترلر فازی را نشان می‌دهد.

جدول 4 مقایسه کنترل پیچ برای دو کنترلر ارائه شده در پاسخ به ورودی پله است. همان‌گونه که در این جدول آمده است زمان نشست سیستم و میزان فراجهش با استفاده از کنترلر فازی-PID به مرتبه کمتر از کنترلر کلاسیک PID است و سیستم در زمان کمتری به پاسخ مطلوب مرسد.



شکل 5 خروجی سطحی K'_p و K'_i در سیستم فازی



شکل 6 خروجی سطحی K'_d در سیستم فازی

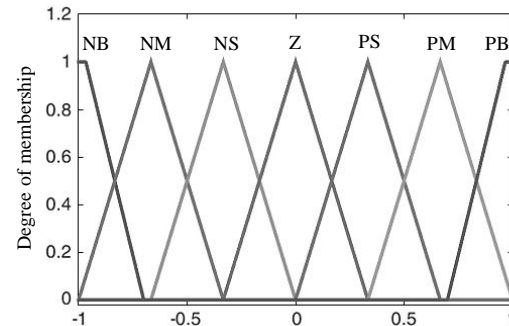


Fig. 3 توابع عضویت برای e و \dot{e}

شکل 3 توابع عضویت برای e و \dot{e}

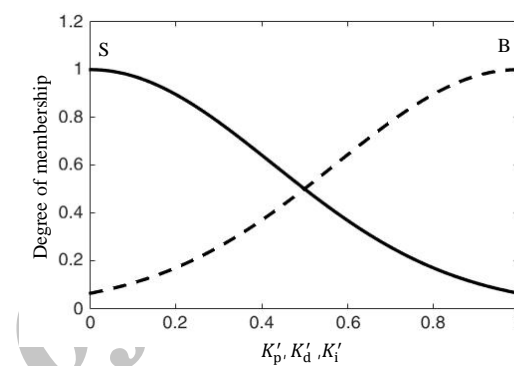


Fig. 4 Membership function for K'_p , K'_d and K'_i

شکل 4 توابع عضویت برای K'_p , K'_d و K'_i

تعريف قوانین زبانی مهمترین بخش طراحی کنترلر فازی-PID به شمار می‌رود، قوانین زبانی شرایط هر خروجی را با توجه به مقادیر کیفی ورودی و \dot{e} مشخص می‌کنند. مقادیر K'_p و K'_d خروجی‌های سیستم فازی با قوانین وضع شده در جدول‌های 1 و 2 هستند.

جدول 1 قوانین فازی برای تنظیم K'_p و K'_i

Table 1 Fuzzy rules for tuning the K'_p and K'_i

		\dot{e}						
		NB	NM	NS	ZO	PS	PM	PB
e	NB	B	B	B	B	B	B	B
	NM	S	B	B	B	B	B	S
	NS	S	S	B	B	B	S	S
	ZO	S	S	S	B	S	S	S
	PS	S	S	B	B	B	S	S
	PM	S	B	B	B	B	B	S
PM	B	B	B	B	B	B	B	B

جدول 2 قوانین فازی برای تنظیم K'_d

Table 2 Fuzzy rules for tuning the K'_d

		\dot{e}						
		NB	NM	NS	ZO	PS	PM	PB
e	NB	S	S	S	S	S	S	S
	NM	B	S	S	S	S	S	B
	NS	B	B	S	S	S	B	B
	ZO	B	B	B	S	B	B	B
	PS	B	B	S	S	S	B	B
	PM	B	S	S	S	S	S	B
PM	S	S	S	S	S	S	S	S

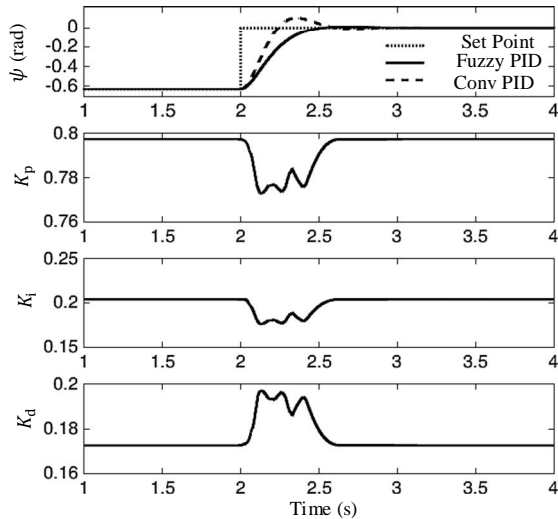


Fig. 9 Yaw and gain values changes per time

شکل 9 تغییرات یاو و بهره‌های کنترل در واحد زمان

جدول 5 مشخصه‌های سیستم در پاسخ به کنترل یاو برای روش‌های ارائه شده را مقایسه می‌کند، استفاده از کنترلر فازی-PID میزان فراجهش و زمان نشست را کاهش داده است.

5-ساخت و توسعه نمونه آزمایشگاهی

طراحی یک سیستم کنترلی برای کوادراتور نیازمند طراحی یک بستر آزمایشگاهی برای پیاده‌سازی و تست عملی کنترل است. به منظور کم کردن پیچیدگی‌های کنترل و جلوگیری از آسیب دیدن سازه، بسترها آزمایشگاهی برای محدود کردن درجات آزادی سیستم طراحی و ساخته شد.

به همین متنظر دو پایه برای طراحی کنترل طراحی شده است به این صورت که پایه نشان داده شده در "شکل 10" حرکت و چرخش در راستاهای رول، پیچ و یاو را برای کوادراتور عملی می‌کند و پایه نشان داده شده در "شکل 11" حرکت در راستای رول را برای سازه امکان‌پذیر می‌کند.

کوادراتور یک سیستم شش درجه آزادی است که از چهار روتور به عنوان پیشران استفاده می‌کند، پیشران‌ها موتورهای DC هستند که جریان و ولتاژ مورد نیاز آن‌ها توسط یاتری تأمین می‌شود و برای چرخش آن‌ها توسط

جدول 5 مقایسه کنترل یاو

Table 5 Comparison of controlling yaw

t_r	e_{ss}	$M_p(\%)$	t_s	کنترل
0.23	0	15.21	0.48	PID
0.42	0	0.88	0.41	فازی



Fig. 10 Quadrotor on the experiment base with three degree of freedom

شکل 10 نحوه قرارگیری کوادراتور روی پایه با سه درجه آزادی

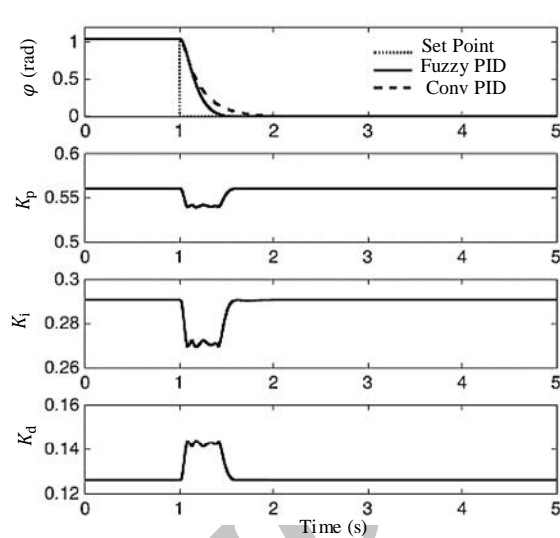


Fig. 7 Roll and gain values changes per time

شکل 7 تغییرات رول و بهره‌های کنترل در واحد زمان

جدول 3 مقایسه کنترل رول

Table 3 Comparison of controlling roll

t_r	e_{ss}	$M_p(\%)$	t_s	کنترل
0.65	0	0	0.64	PID
0.39	0	0	0.38	فازی

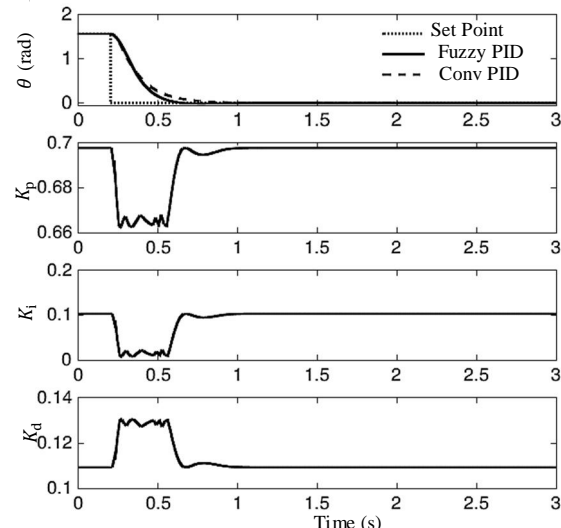


Fig. 8 Tغییرات پیچ و بهره‌های کنترل در واحد زمان

شکل 8 تغییرات پیچ و بهره‌های کنترل در واحد زمان

جدول 4 مقایسه کنترل پیچ

Table 4 Comparison of controlling pitch

t_r	e_{ss}	$M_p(\%)$	t_s	کنترل
0.55	0	0	0.54	PID
0.40	0	0.83	0.38	فازی

شکل 9 نتیجه شبیه‌سازی برای کنترل زاویه‌ی یاو در پاسخ به ورودی پله برای کنترل PID و فازی PID و تغییرات بهره‌های کنترل را نشان می‌دهد.

6-الگوریتم توکیب حسگرها و نویز

به صورت کلی سه استراتژی برای توکیب داده‌ها موجود است. اولین روش با عنوان روش اصلاح شناخته می‌شود، در این روش اطلاعات خروجی از یک حسگر برای اصلاح دیگری استفاده می‌شود. استراتژی دوم اختلاط نام دارد، که با توکیب و اختلاط خروجی‌های چندین حسگر به تولید داده می‌کند. روش سوم و بهترین روش برای توکیب اطلاعات حسگرها، ادغام است. در این روش مقادیر هر حسگر با منظور کردن ضرایب وزنی و آماری مختلف با هم دیگر توکیب می‌شوند تا بهینه‌ترین پاسخ ممکن را در خروجی تولید کنند. به صورت کلی الگوریتم‌های ادغام از فیلتر کالمون برای تشخیص سیگنال نویزی در طول زمان استفاده می‌کنند تا سیگنالی نزدیک به مقادیر واقعی تولید شود [17].

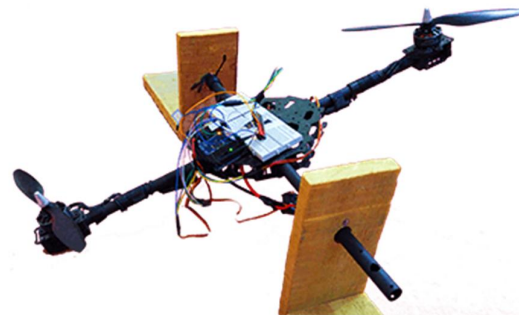
حسگرهای IMU به دو نوع دیجیتال و آنالوگ تقسیم‌بندی می‌شوند. حسگر آنالوگ، خروجی را به صورت ولتاژ به میکروکنترلر می‌دهد. میکروکنترلر با استفاده از مبدل آنالوگ به دیجیتال (ADC) این مقادار را به مقادیر دیجیتال تبدیل می‌کند. برای تخمین دقیق موقعیت کوادرورتور خروجی حسگرهای شتاب‌سنج و ژیروسکوپ با ضرایب وزنی مشخص ادغام می‌شوند. ضرایب وزنی فیلتر کالمون در طی زمان و با تغییر نویز داده‌های خوانده شده از شتاب‌سنج تغییر می‌کنند بردار R_{raw} بردار نویزی خروجی از حسگر شتاب‌سنج و یا قطب‌نما است. R_{gyro} نیز بردار خروجی حسگر ژیروسکوپ در سه راستای X و Y و Z در نظر گرفته می‌شود. با توکیب این دو بردار و با استفاده از معادلات (13)، مقدار نهایی (R_{est})، موقعیت زاویه‌ای سازه را در هر سه جهت تخمین می‌زنند.

$$Rx_{\text{est}} = \frac{Rx_{\text{raw}} + Rx_{\text{gyro}} \times weight_{\text{gyro}}}{1 + weight_{\text{gyro}}} \quad (13-\text{الف})$$

$$Ry_{\text{est}} = \frac{Ry_{\text{raw}} + Ry_{\text{gyro}} \times weight_{\text{gyro}}}{1 + weight_{\text{gyro}}} \quad (13-\text{ب})$$

$$Rz_{\text{est}} = \frac{Rz_{\text{raw}} + Rz_{\text{gyro}} \times weight_{\text{gyro}}}{1 + weight_{\text{gyro}}} \quad (13-\text{ج})$$

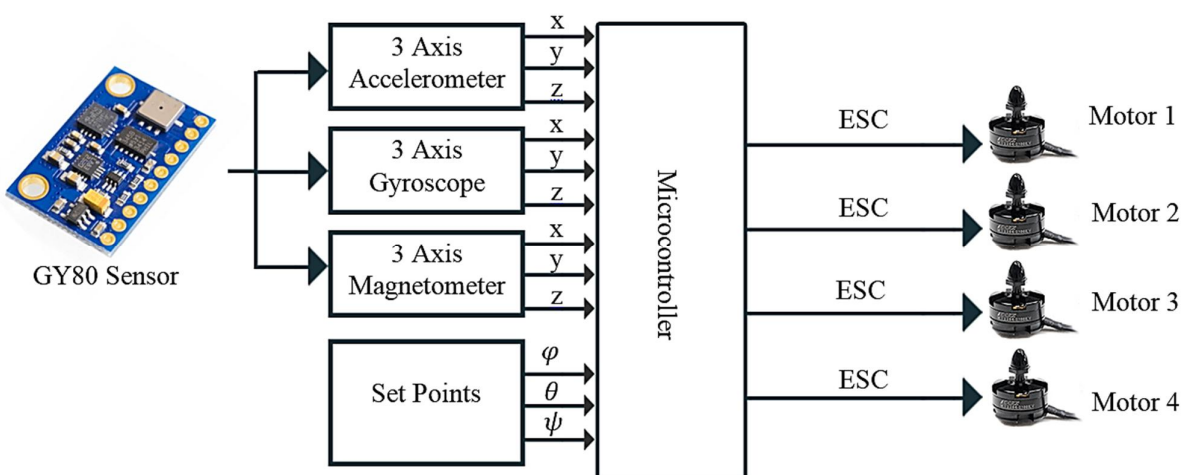
در فیلتر کالمون، $weight_{\text{gyro}}$ ضریب وزنی ژیروسکوپ است و با تغییرات نویز تغییر می‌کند. "شکل 13" نمایش خروجی حسگر شتاب‌سنج و فیلتر کالمون



شکل 11 نحوه قرارگیری کوادرورتور روی پایه با یک درجه آزادی

یک میکروکنترلر سیگنال مدولاسیون پنهانی پالس (PWM)، تولید می‌شود. به عنوان هسته‌ی کنترلر کوادرورتور از یک میکروکنترلر آردوینو استفاده شده است. آردوینو یک بستر محاسباتی فیزیکی متن‌باز است که براساس یک برد میکروکنترلر تهیه شده است.

همان‌گونه که در "شکل 12" نشان داده شده است میکروکنترلر سیگنال آنالوگ را از شتاب‌سنج، ژیروسکوپ و قطب‌نما می‌خواند. این سیگنال به مقادیر دیجیتال تبدیل می‌شود تا بتواند در میکروکنترلر مورد استفاده قرار بگیرد. میکروکنترلر با توجه به مقادیر خوانده شده و ورودی مطلوب منظور شده برای کوادرورتور برای چهار موتور سیگنال PWM تولید می‌کند و به این ترتیب سرعت چرخش هر پیشران را معین می‌کند. همان‌گونه که در شکل هم مشخص است سیگنال PWM تولید شده توسط میکروکنترلر وارد کنترلهای سرعت (ESC) می‌شود و در خروجی سرعت موتورهای را تعیین می‌کند. مقادیر شتاب‌سنج و ژیروسکوپ از یک حسگر IMU مبتنی بر حسگرهای موز (MEMS) به دست می‌آیند. با توجه به این که حسگر شتاب‌سنج موقعیت زاویه‌ای را با منظور کردن کسینوس زاویه شتاب خطی و شتاب زمین محاسبه می‌کند قادر به محاسبه موقعیت زاویه در راستای رول نیست، بدین منظور از قطب‌نما برای محاسبه زاویه‌ی یا و استفاده شده است. ماثول GY80 در "شکل 12" برای محاسبه موقعیت زاویه‌ای با حسگرهای شتاب‌سنج، ژیروسکوپ و قطب‌نما مورد استفاده قرار گرفته است.



شکل 12 بلوك دیاگرام نمونه آزمایشی

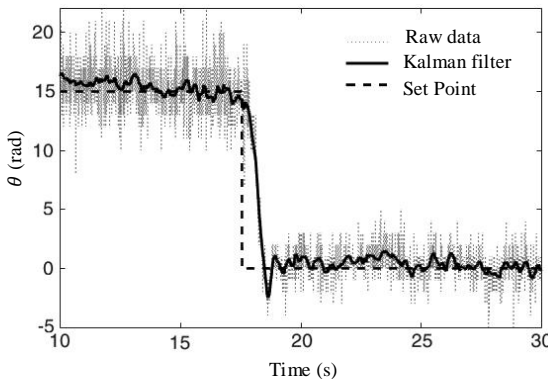


Fig. 15 Experimental results of pitch control using fuzzy PID controller

شکل 15 نتایج تجربی کنترل پیچ با استفاده از کنترلر فازی PID

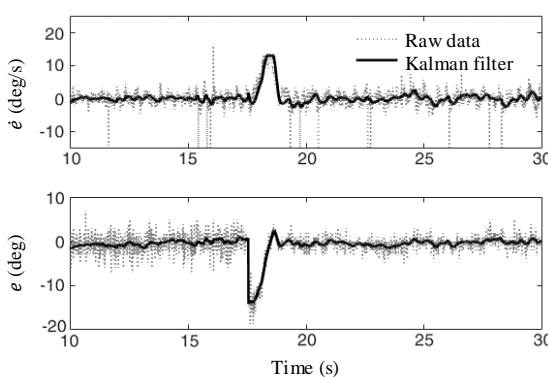


Fig. 16 Variations of error and derived error in the pitch control with fuzzy-PID controller

شکل 16 تغییرات خطأ و مشتق خطأ در کنترل پیچ با کنترلر فازی PID

مقادیر خطأ و مشتق خطأ به عنوان ورودی سیستم فازی محسوب می‌شوند، و بیهده‌های کنترلی در هر لحظه با توجه به این دو پارامتر مقداردهی می‌شوند. به منظور بررسی خروجی سیستم فازی در طی آزمایش اول، روند تغییرات بیهده‌های کنترلی در کنترل پیچ در "شکل 17" نشان داده شده است. در آزمایش دوم برای کنترل زاویه‌ی رول، زاویه‌ی 20- درجه به عنوان زاویه‌ی مطلوب به عنوان ورودی به کنترلر داده شده است. نتیجه‌ی آزمایش در "شکل 18" نشان داده شده، که خروجی کنترلر منجر به پاسخ مناسب با سرعت و دقت قابل قبولی از زاویه‌ی اولیه به زاویه‌ی مطلوب می‌باشد.

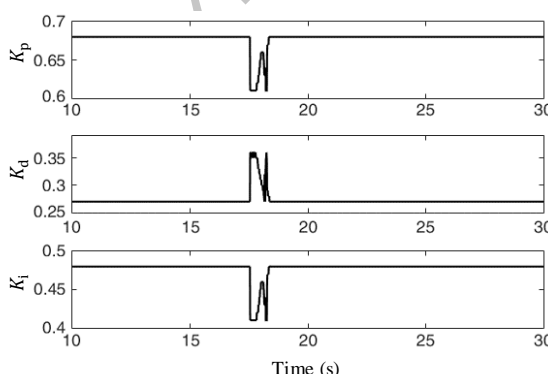


Fig. 17 Variations of gain values in roll control with fuzzy-PID controller

شکل 17 تغییرات بیهده‌های کنترلی در کنترل پیچ با استفاده از کنترلر فازی PID

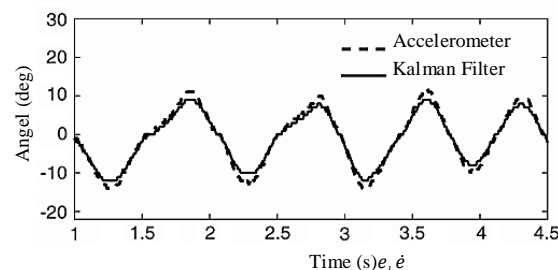


Fig. 13 خروجی حسگر شتاب‌سنج و فیلتر کالمون در حالت موتور خاموش

در حالتی که دستگاه خاموش است و با دست تغییر زاویه ایجاد می‌شود، را نشان می‌دهد. با توجه به این که در این حالت لرزش چندانی وجود ندارد خروجی حسگر شتاب‌سنج به فیلتر کالمون نزدیک است.

در حالتی که پیشان‌ها روشن هستند به خاطر ارتعاشات سیستم، نویز در حسگرها به مراتب بیشتر است. برخلاف ژیروسکوپ، قطب‌نما به اختلالات مغناطیسی تولیدی توسط موتورها حساس است، از این‌رو برای اصلاح پدیده‌ی رانش در ژیروسکوپ و حذف نویز ناشی از اختلالات مغناطیسی خروجی حسگرها ژیروسکوپ و قطب‌نما با استفاده از فیلتر کالمون به منظور به دست آوردن زاویه‌ی یا وادغام می‌شوند [21]. حسگر شتاب‌سنج نیز بر اثر ارتعاشات نویز شدیدی را در خروجی ایجاد می‌کند. همان‌طور که در "شکل 14" نشان داده شده، خروجی حسگر شتاب‌سنج در حالتی که موتورها روشن هستند، نامطلوب است. تخمین‌گر کالمون با ادغام خروجی حسگر شتاب‌سنج و ژیروسکوپ مقدار نویز را به مقدار مطلوبی حذف می‌کند و تخمین قابل قبولی از موقعیت زاویه‌ای ارائه می‌کند.

7 نتایج آزمایشگاهی

برای بررسی عملکرد کنترلر فازی PID در کنترل زاویه کوادراتور این کنترلر در مدل آزمایشگاهی سه درجه آزادی پیاده‌سازی شد. آزمایش‌های متعددی برای بررسی عملکرد و کارایی این نوع از کنترلر صورت گرفت. در آزمایش اول کنترلر برای تغییر زاویه‌ی پیچ از 15 درجه به صفر درجه سیستم را کنترل می‌کند. همان‌گونه که در "شکل 15" نشان داده شده است، کنترل زاویه برای این آزمایش به خوبی انجام گرفته است. برای تماش عملکرد فیلتر کالمون خروجی بدون فیلتر نیز در شکل نشان داده است.

"شکل 16" تغییرات خطأ و مشتق خطأ در کنترل زاویه در راستای پیچ نشان می‌دهد، که هر دو متغیرهای ورودی برای سیستم فازی نیز به شمار می‌روند.

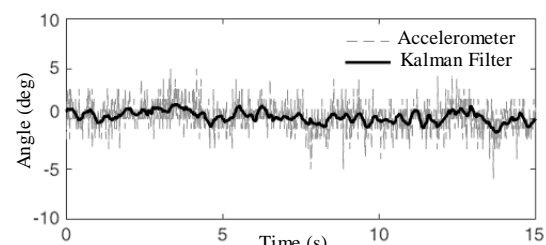


Fig. 14 خروجی حسگر شتاب‌سنج و فیلتر کالمون در حالت موتور روشن

¹ Drift

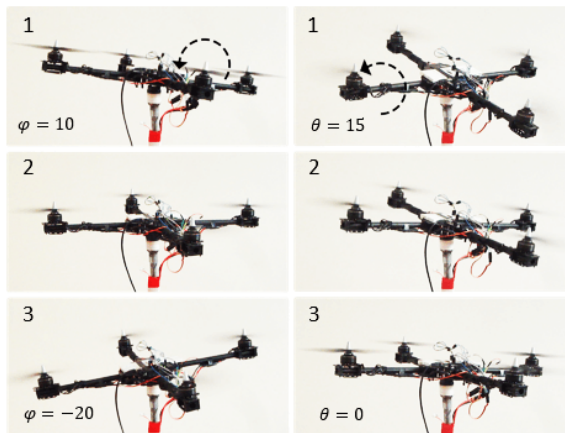


Fig. 21 The sequence of images for roll and pitch control using fuzzy PID

شکل 21 دنباله تصاویر کنترل رول و پیچ با استفاده از کنترلر فازی PID

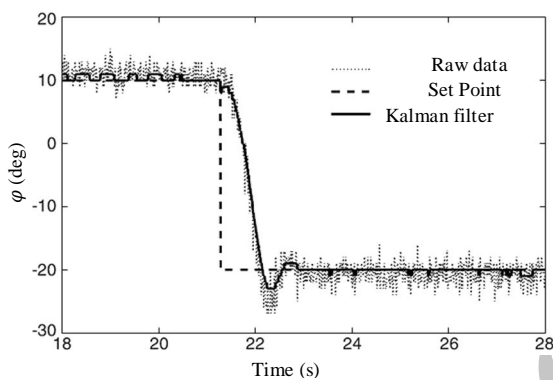


Fig. 22 Experimental results of roll control using PID controller

شکل 22 نتایج تجربی کنترل رول با استفاده از کنترلر PID

همان‌گونه که در "شکل 22" نشان داده شده خروجی کنترلر PID نسبت به کنترلر فازی PID دارای فراجهش و زمان نشست بیشتری است. در آزمایش سوم عملکرد کنترلر برای تغییر زاویه‌ی یاوه به زاویه‌ی مطلوب 70 درجه ارزیابی شده است که در "شکل 23" ترسیم شده است. روند تغییرات خطأ و مشتق خطأ در کنترل زاویه‌ی یاوه در "شکل 24" نشان داده شده است.

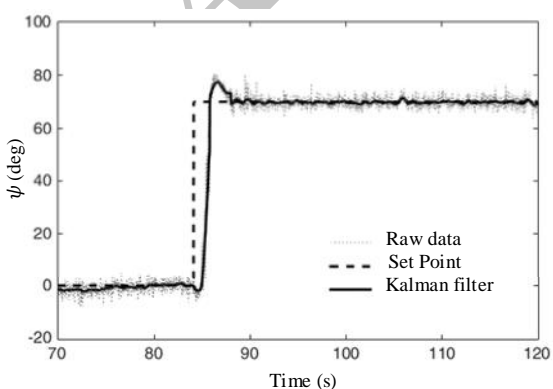


Fig. 23 Experimental results of yaw control using fuzzy PID controller

شکل 23 نتایج تجربی کنترل یاوه با استفاده از کنترلر فازی PID

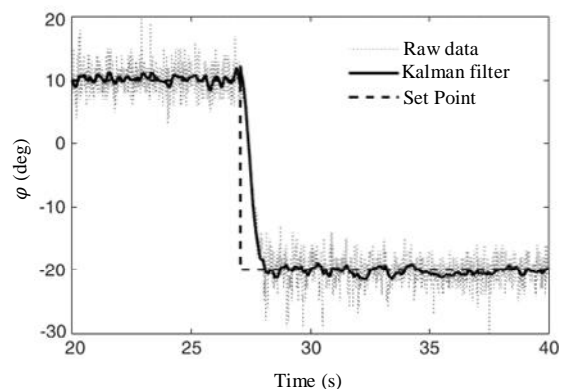


Fig. 18 Experimental results of roll control using fuzzy PID controller

شکل 18 نتایج تجربی کنترل رول با استفاده از کنترلر فازی PID

تغییرات خطأ و مشتق خطأ در کنترل زاویه‌ی رول در "شکل 19" نشان داده شده است.

روند تغییرات بهره‌های کنترلر در واحد زمان برای کنترل رول در "شکل 20" نشان داده شده است.

"شکل 21" دنباله‌ی تصاویر کنترل رول و پیچ را روی پایه با سه درجه آزادی نشان می‌دهد. به منظور مقایسه‌ی پاسخ کنترلر PID و فازی PID در کنترل رول، آزمایش دوم با کنترلر PID تکرار شد، نتیجه‌ی این آزمایش در "شکل 22" نشان داده شده است.

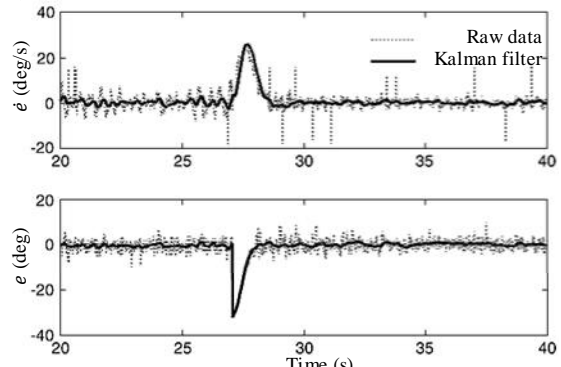


Fig. 19 Variations of error and derived error in the roll control with fuzzy-PID controller

شکل 19 تغییرات خطأ و مشتق خطأ در کنترل رول با کنترلر فازی PID

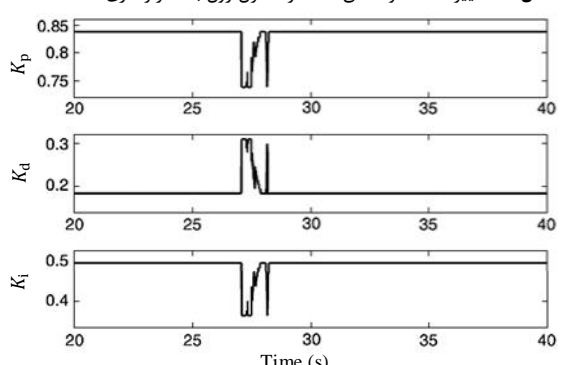
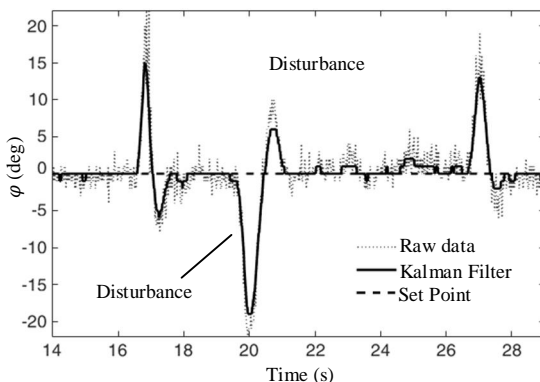


Fig. 20 Variations of gain values in roll control

شکل 20 تغییرات بهره‌های کنترلر در کنترل رول

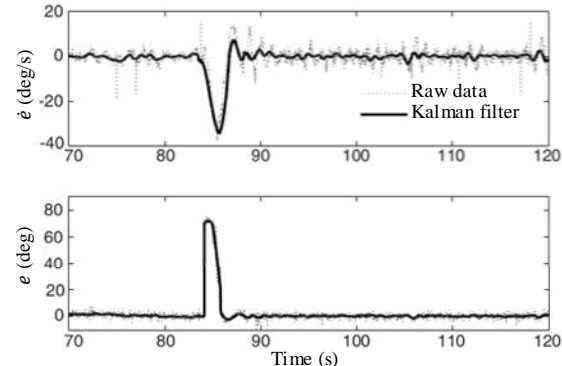


شکل 27 کنترل زاویه رول در شرایط اعمال اختشاشات خارجی

فازی برای تنظیم بهره‌های کنترلی پرداخته شد. شبیه‌سازی مدل کوادراتور در نرم‌افزار متلب انجام شد و کنترلرهای PID و فازی PID برای بررسی عملکرد کنترلر در پاسخ به ورودی پله ارزیابی و مقایسه شدند. اضافه شدن کنترلر فازی برای تنظیم بهره‌های کنترلی می‌تواند در بهبود عملکرد کنترلر PID تاثیرگذار باشد. در ادامه به منظور بررسی عملکرد کنترلر فازی PID برای کنترل موقعیت زاویه‌ای کوادراتور، مدل آزمایشگاهی طراحی و توسعه یافته و کنترلر برای کنترل موقعیت زاویه‌ای سیستم پیاده‌سازی شده است. ارتعاشات سیستم که ناشی از حرکت روتورها است، منجر به ایجاد نویز در خروجی حسگرها می‌شود. با ادغام خروجی حسگرهای شتاب‌سنج، ژیروسکوپ و قطب‌نما و با استفاده از فیلتر کالمن نویز سیستم به میزان مطلوبی برطرف شده و تخفین مناسبی از مقاومت سیستم برای کنترل ارائه می‌شود. در نهایت با انجام آزمایش‌های متعدد با اعمال ورودی پله، کنترلر نتایج مطلوبی در رسیدن به زاویه‌ی مطلوب و در مقاومت به اختشاشات خارجی ارائه نمود. کنترلر فازی PID در مقایسه با کنترل کلاسیک PID زمان نشت و فرجهش کمتری در پاسخ به ورودی پله نتیجه داد.

۹-مراجع

- [1] A. Gessow, G.C. Myers, *Aerodynamics of the Helicopter*, Frederick Ungar, New York: Frederick Ungar Publishing, pp. 2-16, 1952.
- [2] G.J. Leishman, *Principles of helicopter aerodynamics*, United States of America: Cambridge University Press, pp. 2-27, 2006.
- [3] E. Altug, J.P. Ostrowski, C.J. Taylor, Control of a quadrotor helicopter using dual camera visual feedback, *The International Journal of Robotics Research*, Vol. 24, No. 5, pp. 329-341, 2005.
- [4] D. Suter, T. Hamel, R. Mahony, Visual servo control using homography estimation for the stabilization of an x4-flyer, *Proceedings of the 41st IEEE Conference on Decision and Control*, Las Vegas, Nevada, USA, December 10-13, 2002.
- [5] J. Dunfield, M. Tarbouchi, Neural network based control of a four rotor helicopter, *IEEE International Conference on Industrial Technology*, Hammamet, Tunisia, December 8-10, 2004.
- [6] M.G. Earl, R. D'Andrea, Real-time attitude estimation techniques applied to a four rotor helicopter, *43rd IEEE Conference on Decision and Control*, Atlantis, Bahamas, December 14-17, 2004.
- [7] D. Lee, H.J. Kim, S. Sastry, Feedback linearization vs. adaptive sliding mode control for a quadrotor helicopter, *International Journal of control, Automation and systems*, Vol. 7, No. 3, pp. 419-428, 2009.
- [8] M. Sugeno, I. Hirano, S. Nakamura, Development of an intelligent unmanned helicopter, *Fuzzy Systems, International Joint Conference of the Fourth IEEE International Conference on Fuzzy Systems and the Second International Fuzzy Engineering Symposium*, Yokohama, Japan, March 20-24, 1995.
- [9] B. Kadmiry, D. Driankov, Fuzzy control of an autonomous

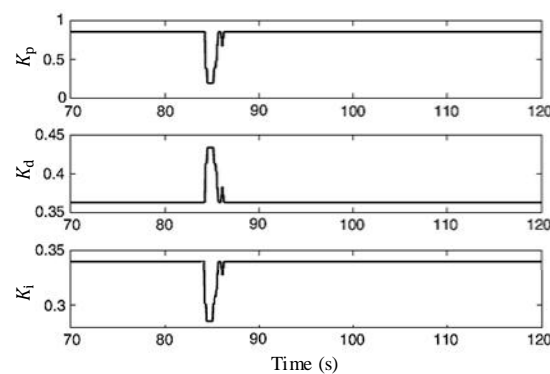


شکل 24 تغییرات خطأ و مشتق خطأ در کنترل یاو با کنترل فازی PID

"شکل 25" روند تغییرات بهره‌های کنترلی را برای کنترل زاویه‌ی یاو در واحد زمان نشان می‌دهد. دنباله تصاویر عملکرد کنترلر در کنترل زاویه یاو از زاویه صفر درجه به 70 درجه در "شکل 26" نشان داده شده است. به منظور بررسی مقاومت کنترلر فازی PID پیاده‌سازی شده در برابر اغتشاشات خارجی ضربه‌ای، چندین اغتشاش تصادفی به سیستم وارد شده است. همان‌گونه که در "شکل 27" نشان داده شده است، کنترلر با سرعت مطلوبی پایداری سیستم را برقرار می‌کند.

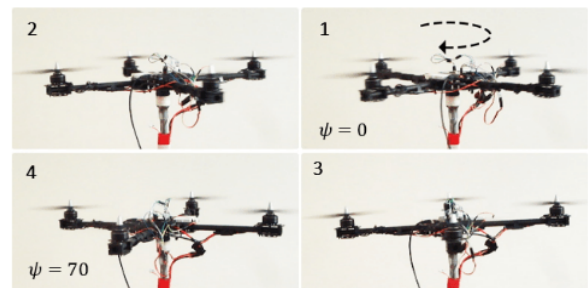
۸-نتیجه‌گیری و جمع‌بندی

در این مقاله به طراحی و شبیه‌سازی کنترلر PID با بهره‌گیری از سیستم



شکل 25 تغییرات بهره‌های کنترلی در کنترل یاو

شکل 25 تغییرات بهره‌های کنترلی در کنترل یاو



شکل 26 دنباله تصاویر کنترل رول و پیچ با استفاده از کنترلر فازی PID

- Annual Conference on IEEE Industrial Electronics*, Paris, France, November 7-10, 2006.
- [16] R. Xu, U. Ozguner, Sliding mode control of a quadrotor helicopter, *Proceedings of the 45th IEEE Conference on Decision and Control*, San Diego, California, December 13-15, 2006.
- [17] E. Davoodi, M. Rezaei, Dynamic modeling, simulation and control of a quadrotor using MEMS sensors' experimental data, *Modares Mechanical Engineering*, Vol. 14, No.3, pp. 176-184, 2014. (in Persian)
- [18] M. Tofigh, M. Mahjoob, M. Ayati, Comparison of two Feedback Linearization method aimed at position tracking control for a novel six-rotor UAV, *Modares Mechanical Engineering*, Vol. 15, No. 9, pp. 199-208, 2015. (in Persian)
- [19] M. Tofigh, M. Mahjoob, M. Ayati, Feedback Linearization and BackStepping controller aimed at position tracking for a novel five-rotor UAV, *Modares Mechanical Engineering*, Vol. 15, No.3, pp. 247-254, 2015. (in Persian)
- [20] S. Bouabdallah, *Design and control of quadrotors with application to autonomous flying*, PhD Thesis, Lausanne Polytechnic University, 2007.
- [21] AL. Chan, SL. Tan, CL. Kwek, Sensor data fusion for attitude stabilization in a low cost Quadrotor system, *15th International Symposium on Consumer Electronics (ISCE)*, Singapore, Jun 14-17, 2011.
- helicopter, *IFSA World Congress and 20th NAFIPS International Conference*, Vancouver, BC, Canada, July 25-28, 2001.
- [10] C. Cavalcante, J. Cardoso, J.J.G. Ramos, Design and tuning of a helicopter fuzzy controller, *International Joint Conference of the Fourth IEEE International Conference on Fuzzy Systems and The Second International Fuzzy Engineering Symposium*, Yokohama, Japan, March 20-24, 1995.
- [11] B. Panomrattanarug, K. Higuchi, Attitude control of a quadrotor aircraft using LQR state feedback controller with full order state observer, *The SICE Annual Conference*, Nagoya, Japan, September 14-17, 2013.
- [12] I.D. Cowling, J.F. Whidborne, Optimal trajectory planning and LQR control for a quadrotor UAV, *International Conference on Control*, Glasgow, Scotland, United Kingdom, August 30-September 1, 2006.
- [13] E. Reyes-Valeria, R. Enriquez-Caldera, LQR control for a quadrotor using unit quaternions: Modeling and simulation, *International Conference on Electronics, Communications and Computing (CONIELECOMP)*, Puebla, Mexico, March 11-13, 2013.
- [14] S. Bouabdallah, R. Siegwart, Backstepping and sliding-mode techniques applied to an indoor micro quadrotor, *Proceedings of the 2005 IEEE international conference on robotics and automation*, Barcelona, Spain, April 18-22, 2005.
- [15] Madani, Tarek, and Abdelaziz Benallegue. "Backstepping sliding mode control applied to a miniature quadrotor flying robot, *32nd*